

### Eingabe: Farbmimetrisches Fernseh-Licht-System TLS70

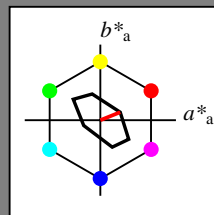
für Buntton  $h^* = lab \cdot h = 22/360 = 0.061$

$lab \cdot tch$  und  $lab \cdot nch$

D65: Buntton O

LCH\*Ma: 76 28 22

olv\*Ma: 1.0 0.0 0.0



#### TLS70; adaptierte CIELAB-Daten

	$L^*=L^*_a$	$a^*_a$	$b^*_a$	$C^*_{ab,a}$	$h^*_{ab,a}$
O <sub>m</sub>	76.43	26.27	10.57	28.32	22
Y <sub>m</sub>	93.93	-10.76	34.63	36.27	107
L <sub>m</sub>	89.32	-35.8	27.64	45.24	142
C <sub>m</sub>	90.93	-21.95	-7.07	23.07	198
V <sub>m</sub>	72.1	15.76	-35.63	38.97	294
M <sub>m</sub>	78.5	37.52	-25.23	45.22	326
N <sub>m</sub>	69.7	0.0	0.0	0.0	0
W <sub>m</sub>	95.41	0.0	0.0	0.0	0
R <sub>CIE</sub>	39.92	58.74	27.99	65.07	25
J <sub>CIE</sub>	81.26	-2.88	71.56	71.62	92
G <sub>CIE</sub>	52.23	-42.41	13.6	44.55	162
B <sub>CIE</sub>	30.57	1.41	-46.46	46.49	272

Dreiecks-Helligkeit  $t^*$

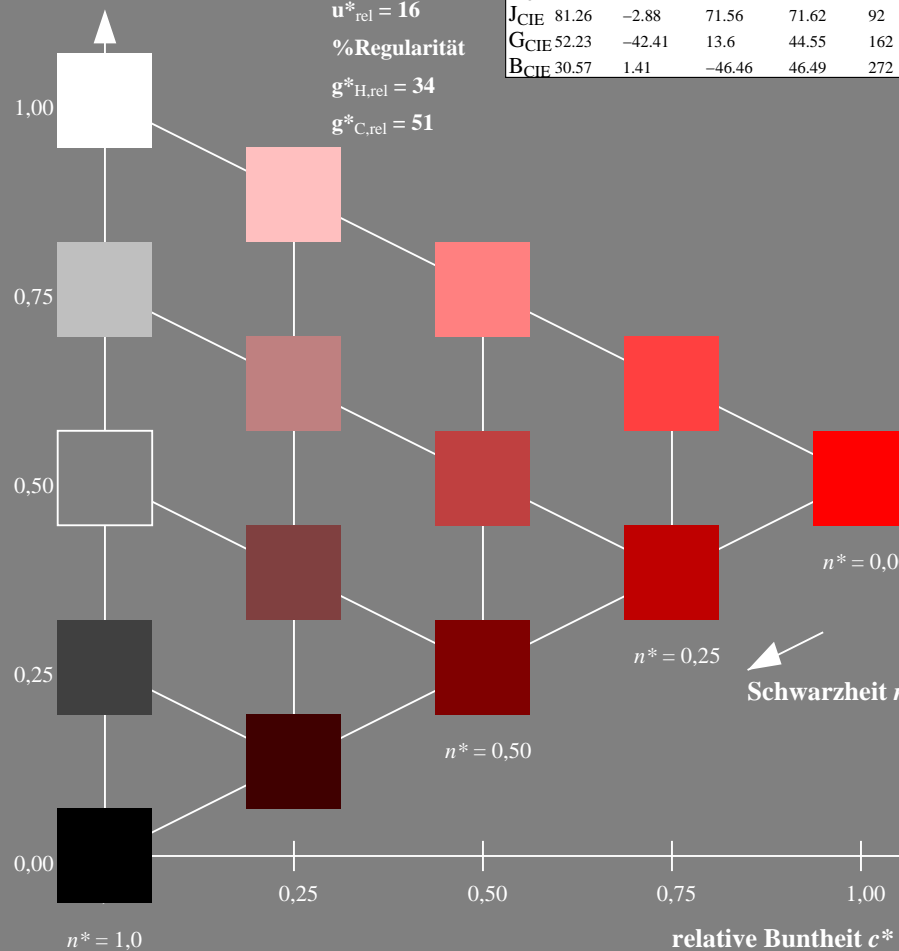
%Umfang

$u^*_{rel} = 16$

%Regularität

$g^*_{H,rel} = 34$

$g^*_{C,rel} = 51$



NG280-7, 5 stufige Reihen für konstanten CIELAB Buntton 22/360 = 0.061 (links)

### Ausgabe: Farbmimetrisches Fernseh-Licht-System TLS00

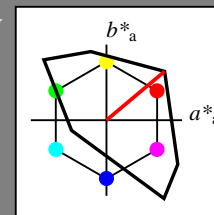
für Buntton  $h^* = lab \cdot h = 40/360 = 0.111$

$LAB \cdot LCH$ ,  $LAB \cdot NCH$

D65: Buntton O

LCH\*Ma: 51 100 40

olv\*Ma: 1.0 0.0 0.0



#### TLS00; adaptierte CIELAB-Daten

	$L^*=L^*_a$	$a^*_a$	$b^*_a$	$C^*_{ab,a}$	$h^*_{ab,a}$
O <sub>m</sub>	50.5	76.92	64.55	100.42	40
Y <sub>m</sub>	92.66	-20.69	90.75	93.08	103
L <sub>m</sub>	83.63	-82.75	79.9	115.04	136
C <sub>m</sub>	86.88	-46.16	-13.55	48.12	196
V <sub>m</sub>	30.39	76.06	-103.59	128.52	306
M <sub>m</sub>	57.3	94.35	-58.41	110.97	328
N <sub>m</sub>	0.01	0.0	0.0	0.0	0
W <sub>m</sub>	95.41	0.0	0.0	0.0	0
R <sub>CIE</sub>	39.92	58.74	27.99	65.07	25
J <sub>CIE</sub>	81.26	-2.88	71.56	71.62	92
G <sub>CIE</sub>	52.23	-42.41	13.6	44.55	162
B <sub>CIE</sub>	30.57	1.41	-46.46	46.49	272

CIELAB-Helligkeit  $L^*$

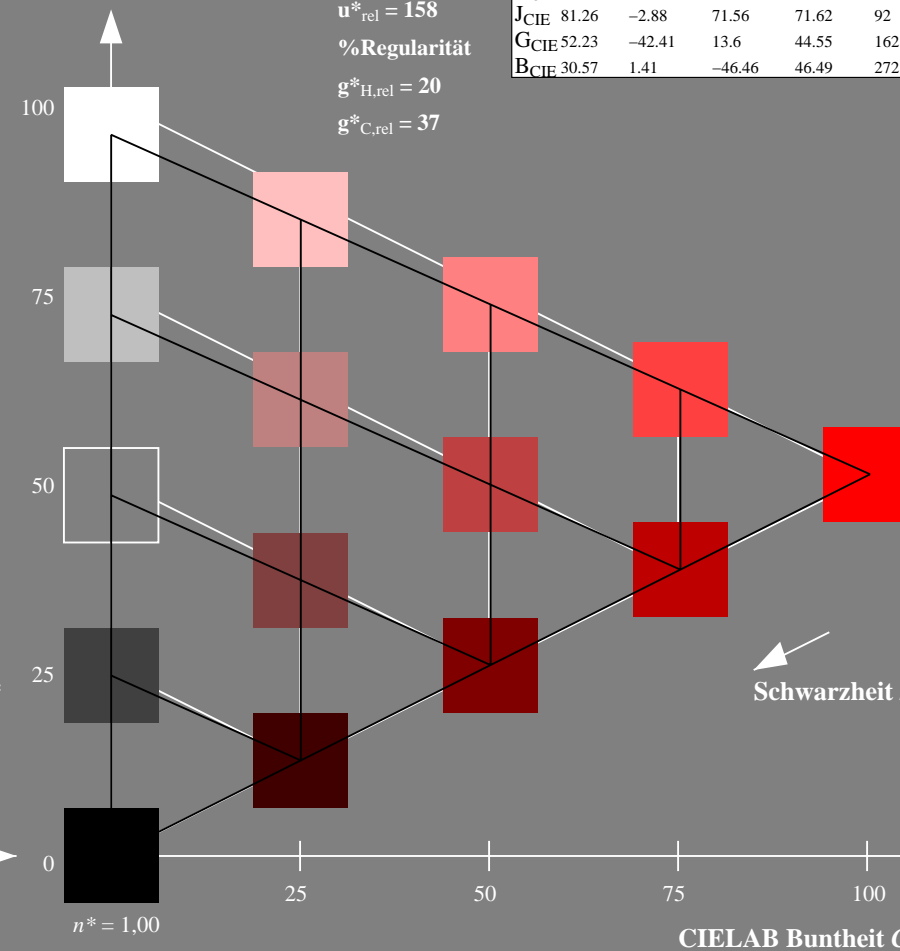
%Umfang

$u^*_{rel} = 158$

%Regularität

$g^*_{H,rel} = 20$

$g^*_{C,rel} = 37$



5 stufige Reihen für konstanten CIELAB Buntton 40/360 = 0.111 (rechts)

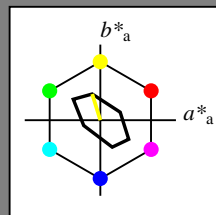
BAM-Prüfvorlage NG28; Farbmimetrik-Systeme TLS70 & TLS00 input: olv\* setrgbcolor

D65: Koordinatensysteme; 5stufige Farbreihen für 10 Bunttöne output: no change compared to input

Eingabe: Farbmimetrisches Fernseh-Licht-System TLS70

für Buntton  $h^* = lab^*h = 107/360 = 0.298$   
 $lab^*tch$  und  $lab^*nch$

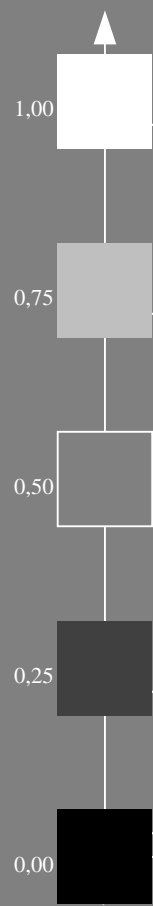
D65: Buntton Y  
LCH\*Ma: 94 36 107  
olv\*Ma: 1.0 1.0 0.0



TLS70; adaptierte CIELAB-Daten

	$L^*=L^*_a$	$a^*_a$	$b^*_a$	$C^*_{ab,a}$	$h^*_{ab,a}$
O <sub>m</sub>	76.43	26.27	10.57	28.32	22
Y <sub>m</sub>	93.93	-10.76	34.63	36.27	107
L <sub>m</sub>	89.32	-35.8	27.64	45.24	142
C <sub>m</sub>	90.93	-21.95	-7.07	23.07	198
V <sub>m</sub>	72.1	15.76	-35.63	38.97	294
M <sub>m</sub>	78.5	37.52	-25.23	45.22	326
N <sub>m</sub>	69.7	0.0	0.0	0.0	0
W <sub>m</sub>	95.41	0.0	0.0	0.0	0
R <sub>CIE</sub>	39.92	58.74	27.99	65.07	25
J <sub>CIE</sub>	81.26	-2.88	71.56	71.62	92
G <sub>CIE</sub>	52.23	-42.41	13.6	44.55	162
B <sub>CIE</sub>	30.57	1.41	-46.46	46.49	272

Dreiecks-Helligkeit  $t^*$



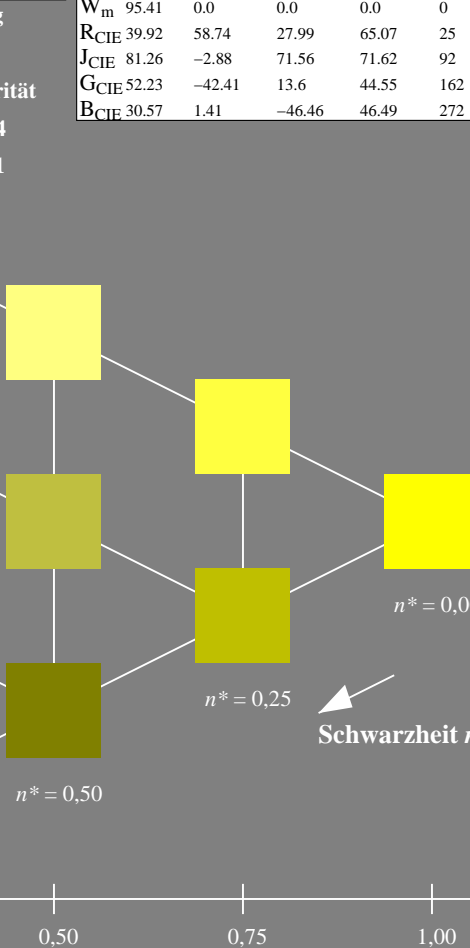
%Umfang

$u^*_{rel} = 16$

%Regularität

$g^*_{H,rel} = 34$

$g^*_{C,rel} = 51$



$n^* = 0.00$

$n^* = 0.25$

$n^* = 0.50$

Schwarzheit  $n^*$

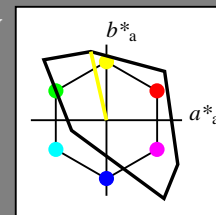
relative Buntheit  $c^*$

NG280-7, 5 stufige Reihen für konstanten CIELAB Bunton  $107/360 = 0.298$  (links)

Ausgabe: Farbmimetrisches Fernseh-Licht-System TLS00

für Buntton  $h^* = lab^*h = 103/360 = 0.286$   
 $LAB^*LCH$ ,  $LAB^*NCH$

D65: Buntton Y  
LCH\*Ma: 93 93 103  
olv\*Ma: 1.0 1.0 0.0



TLS00; adaptierte CIELAB-Daten

	$L^*=L^*_a$	$a^*_a$	$b^*_a$	$C^*_{ab,a}$	$h^*_{ab,a}$
O <sub>m</sub>	50.5	76.92	64.55	100.42	40
Y <sub>m</sub>	92.66	-20.69	90.75	93.08	103
L <sub>m</sub>	83.63	-82.75	79.9	115.04	136
C <sub>m</sub>	86.88	-46.16	-13.55	48.12	196
V <sub>m</sub>	30.39	76.06	-103.59	128.52	306
M <sub>m</sub>	57.3	94.35	-58.41	110.97	328
N <sub>m</sub>	0.01	0.0	0.0	0.0	0
W <sub>m</sub>	95.41	0.0	0.0	0.0	0
R <sub>CIE</sub>	39.92	58.74	27.99	65.07	25
J <sub>CIE</sub>	81.26	-2.88	71.56	71.62	92
G <sub>CIE</sub>	52.23	-42.41	13.6	44.55	162
B <sub>CIE</sub>	30.57	1.41	-46.46	46.49	272

CIELAB-Helligkeit  $L^*$

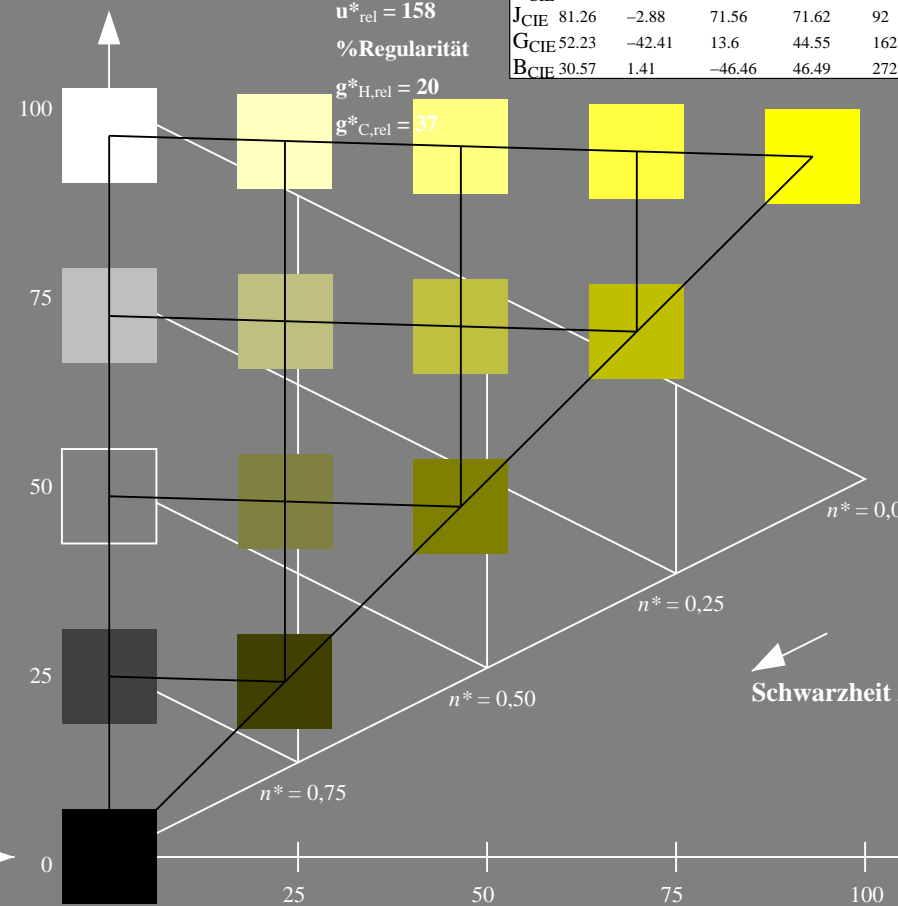
%Umfang

$u^*_{rel} = 158$

%Regularität

$g^*_{H,rel} = 20$

$g^*_{C,rel} = 37$



$n^* = 0.00$

$n^* = 0.25$

$n^* = 0.50$

$n^* = 0.75$

Schwarzheit  $n^*$

$n^* = 1.00$

CIELAB Buntheit  $C^*_{ab}$

5 stufige Reihen für konstanten CIELAB Bunton  $103/360 = 0.286$  (rechts)

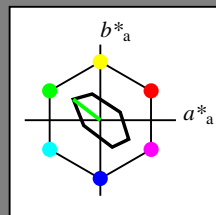
BAM-Prüfvorlage NG28; Farbmimetrische-Systeme TLS70 & TLS00 input: olv\* setrgbcolor

D65: Koordinatensysteme; 5stufige Farbreihen für 10 Bunttöne output: no change compared to input

Eingabe: Farbmimetrisches Fernseh-Licht-System TLS70

für Buntton  $h^* = lab^*h = 142/360 = 0.395$   
 $lab^*tch$  und  $lab^*nch$

D65: Buntton L  
LCH\*Ma: 89 45 142  
olv\*Ma: 0.0 1.0 0.0



TLS70; adaptierte CIELAB-Daten

	$L^*=L^*_a$	$a^*_a$	$b^*_a$	$C^*_{ab,a}$	$h^*_{ab,a}$
O <sub>m</sub>	76.43	26.27	10.57	28.32	22
Y <sub>m</sub>	93.93	-10.76	34.63	36.27	107
L <sub>m</sub>	89.32	-35.8	27.64	45.24	142
C <sub>m</sub>	90.93	-21.95	-7.07	23.07	198
V <sub>m</sub>	72.1	15.76	-35.63	38.97	294
M <sub>m</sub>	78.5	37.52	-25.23	45.22	326
N <sub>m</sub>	69.7	0.0	0.0	0.0	0
W <sub>m</sub>	95.41	0.0	0.0	0.0	0
R <sub>CIE</sub>	39.92	58.74	27.99	65.07	25
J <sub>CIE</sub>	81.26	-2.88	71.56	71.62	92
G <sub>CIE</sub>	52.23	-42.41	13.6	44.55	162
B <sub>CIE</sub>	30.57	1.41	-46.46	46.49	272

Dreiecks-Helligkeit  $t^*$

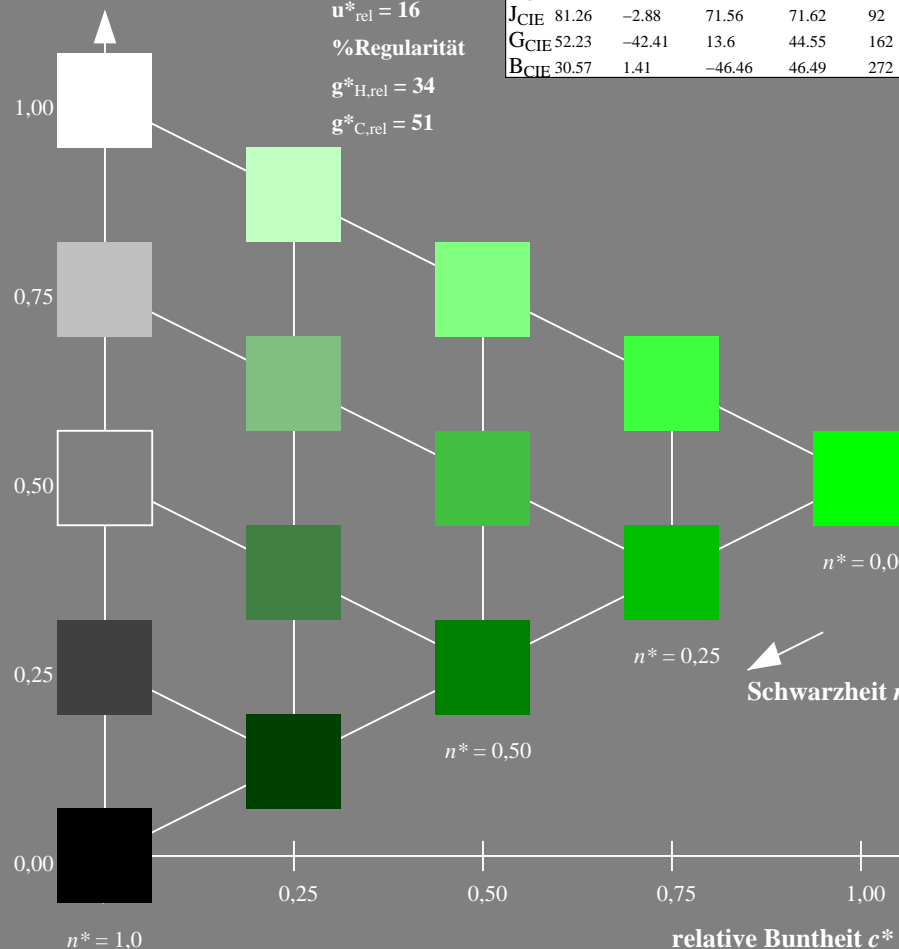
%Umfang

$u^*_{rel} = 16$

%Regularität

$g^*_{H,rel} = 34$

$g^*_{C,rel} = 51$

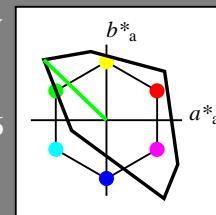


NG280-7, 5 stufige Reihen für konstanten CIELAB Buntton  $142/360 = 0.395$  (links)

Ausgabe: Farbmimetrisches Fernseh-Licht-System TLS00

für Buntton  $h^* = lab^*h = 136/360 = 0.378$   
 $LAB^*LCH$ ,  $LAB^*NCH$

D65: Buntton L  
LCH\*Ma: 84 115 136  
olv\*Ma: 0.0 1.0 0.0



TLS00; adaptierte CIELAB-Daten

	$L^*=L^*_a$	$a^*_a$	$b^*_a$	$C^*_{ab,a}$	$h^*_{ab,a}$
O <sub>m</sub>	50.5	76.92	64.55	100.42	40
Y <sub>m</sub>	92.66	-20.69	90.75	93.08	103
L <sub>m</sub>	83.63	-82.75	79.9	115.04	136
C <sub>m</sub>	86.88	-46.16	-13.55	48.12	196
V <sub>m</sub>	30.39	76.06	-103.59	128.52	306
M <sub>m</sub>	57.3	94.35	-58.41	110.97	328
N <sub>m</sub>	0.01	0.0	0.0	0.0	0
W <sub>m</sub>	95.41	0.0	0.0	0.0	0
R <sub>CIE</sub>	39.92	58.74	27.99	65.07	25
J <sub>CIE</sub>	81.26	-2.88	71.56	71.62	92
G <sub>CIE</sub>	52.23	-42.41	13.6	44.55	162
B <sub>CIE</sub>	30.57	1.41	-46.46	46.49	272

CIELAB-Helligkeit  $L^*$

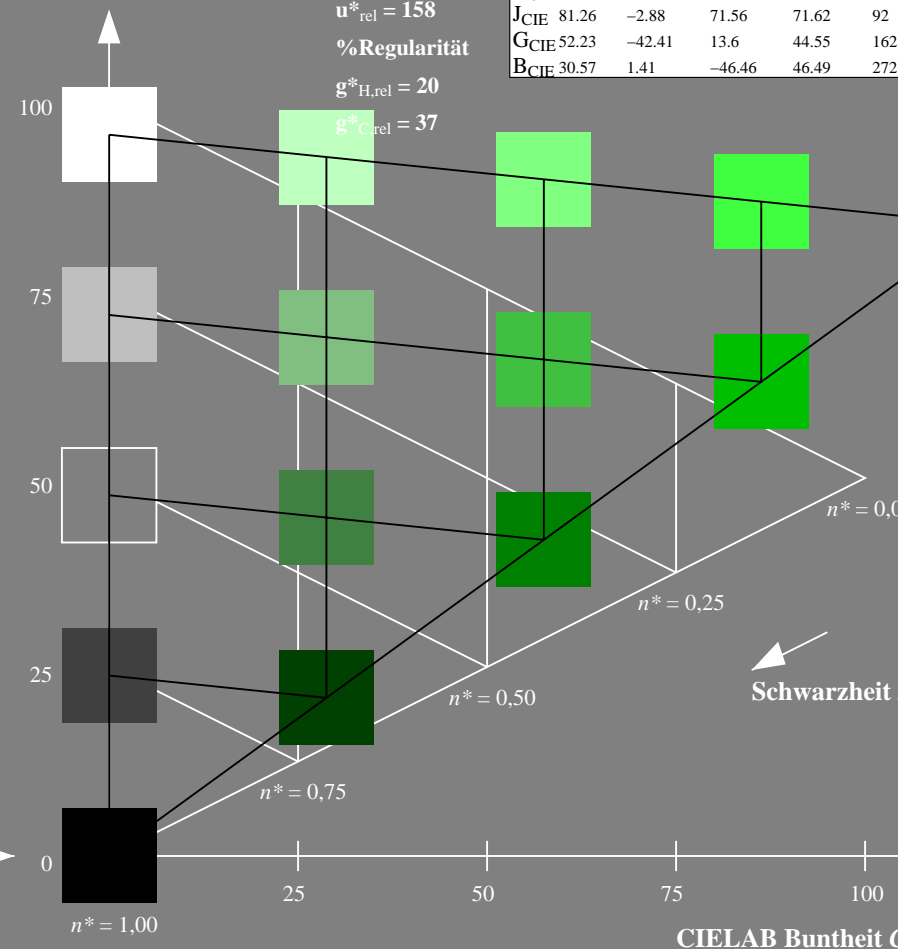
%Umfang

$u^*_{rel} = 158$

%Regularität

$g^*_{H,rel} = 20$

$g^*_{C,rel} = 37$



5 stufige Reihen für konstanten CIELAB Buntton  $136/360 = 0.378$  (rechts)

BAM-Prüfvorlage NG28; Farbmimetrik-Systeme TLS70 & TLS00 input: olv\* setrgbcolor

D65: Koordinatensysteme; 5stufige Farbreihen für 10 Bunttöne output: no change compared to input

Eingabe: Farbmétrisches Fernseh-Licht-System TLS70

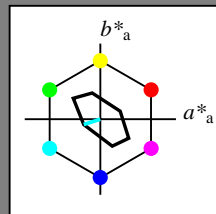
für Buntton  $h^* = lab^*h = 198/360 = 0.55$

$lab^*tch$  und  $lab^*nch$

D65: Buntton C

LCH\*Ma: 91 23 198

olv\*Ma: 0.0 1.0 1.0



TLS70; adaptierte CIELAB-Daten

	$L^*=L^*_a$	$a^*_a$	$b^*_a$	$C^*_{ab,a}$	$h^*_{ab,a}$
O <sub>m</sub>	76.43	26.27	10.57	28.32	22
Y <sub>m</sub>	93.93	-10.76	34.63	36.27	107
L <sub>m</sub>	89.32	-35.8	27.64	45.24	142
C <sub>m</sub>	90.93	-21.95	-7.07	23.07	198
V <sub>m</sub>	72.1	15.76	-35.63	38.97	294
M <sub>m</sub>	78.5	37.52	-25.23	45.22	326
N <sub>m</sub>	69.7	0.0	0.0	0.0	0
W <sub>m</sub>	95.41	0.0	0.0	0.0	0
R <sub>CIE</sub>	39.92	58.74	27.99	65.07	25
J <sub>CIE</sub>	81.26	-2.88	71.56	71.62	92
G <sub>CIE</sub>	52.23	-42.41	13.6	44.55	162
B <sub>CIE</sub>	30.57	1.41	-46.46	46.49	272

Dreiecks-Helligkeit  $t^*$

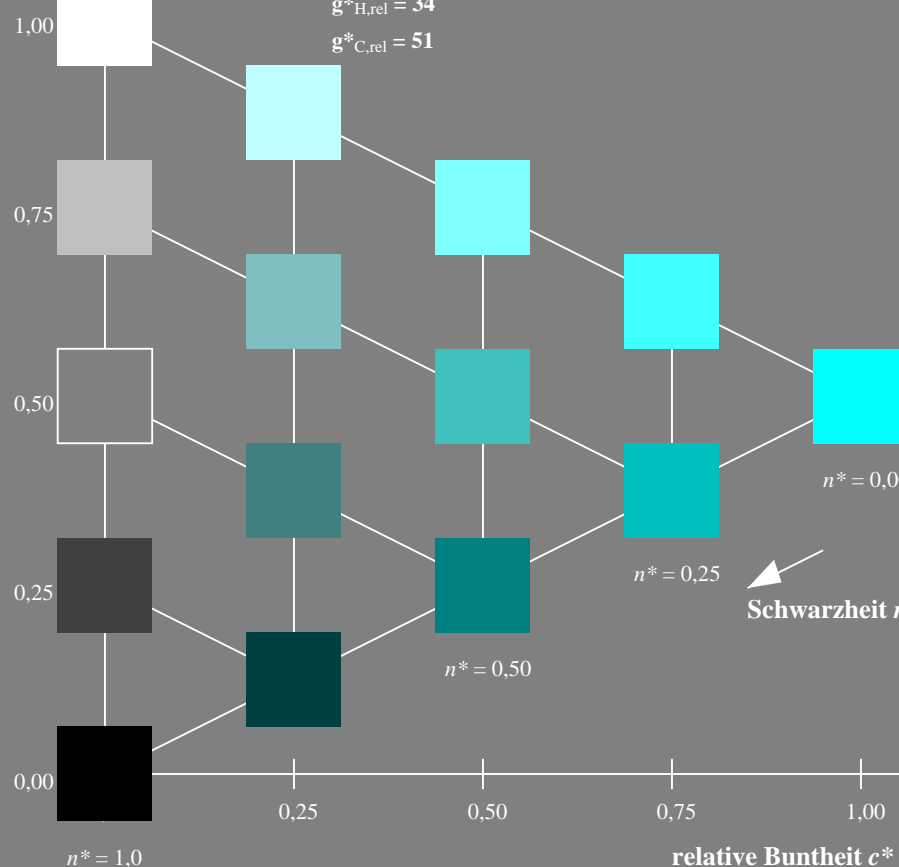
%Umfang

$u^*_{rel} = 16$

%Regularität

$g^*_{H,rel} = 34$

$g^*_{C,rel} = 51$



NG280-7, 5 stufige Reihen für konstanten CIELAB Buntton 198/360 = 0.55 (links)

Ausgabe: Farbmétrisches Fernseh-Licht-System TLS00

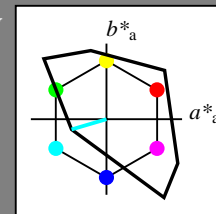
für Buntton  $h^* = lab^*h = 196/360 = 0.545$

$LAB^*LCH$ ,  $LAB^*NCH$

D65: Buntton C

LCH\*Ma: 87 48 196

olv\*Ma: 0.0 1.0 1.0



TLS00; adaptierte CIELAB-Daten

	$L^*=L^*_a$	$a^*_a$	$b^*_a$	$C^*_{ab,a}$	$h^*_{ab,a}$
O <sub>m</sub>	50.5	76.92	64.55	100.42	40
Y <sub>m</sub>	92.66	-20.69	90.75	93.08	103
L <sub>m</sub>	83.63	-82.75	79.9	115.04	136
C <sub>m</sub>	86.88	-46.16	-13.55	48.12	196
V <sub>m</sub>	30.39	76.06	-103.59	128.52	306
M <sub>m</sub>	57.3	94.35	-58.41	110.97	328
N <sub>m</sub>	0.01	0.0	0.0	0.0	0
W <sub>m</sub>	95.41	0.0	0.0	0.0	0
R <sub>CIE</sub>	39.92	58.74	27.99	65.07	25
J <sub>CIE</sub>	81.26	-2.88	71.56	71.62	92
G <sub>CIE</sub>	52.23	-42.41	13.6	44.55	162
B <sub>CIE</sub>	30.57	1.41	-46.46	46.49	272

CIELAB-Helligkeit  $L^*$

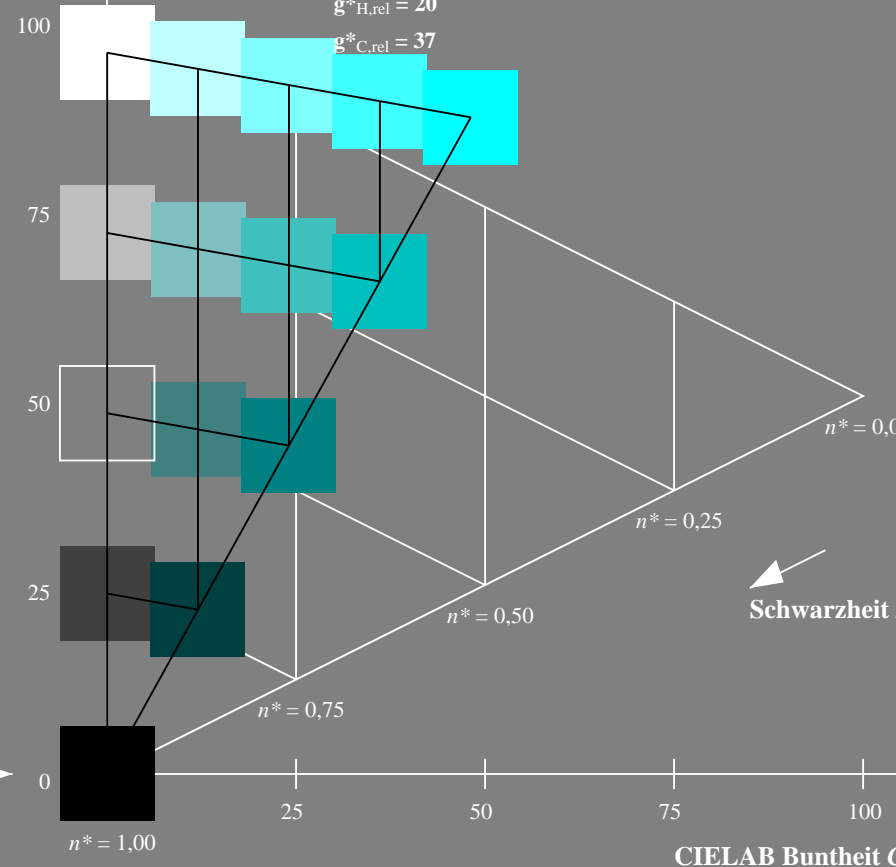
%Umfang

$u^*_{rel} = 158$

%Regularität

$g^*_{H,rel} = 20$

$g^*_{C,rel} = 37$



5 stufige Reihen für konstanten CIELAB Buntton 196/360 = 0.545 (rechts)

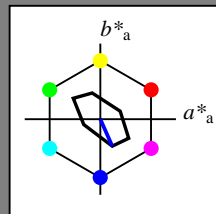
BAM-Prüfvorlage NG28; Farbmétrik-Systeme TLS70 & TLS00 input: olv\* setrgbcolor

D65: Koordinatensysteme; 5stufige Farbreihen für 10 Bunttöne output: no change compared to input

Eingabe: Farbmimetrisches Fernseh-Licht-System TLS70

für Buntton  $h^* = lab^*h = 294/360 = 0.816$   
 $lab^*tch$  und  $lab^*nch$

D65: Buntton V  
LCH\*Ma: 72 39 294  
olv\*Ma: 0.0 0.0 1.0



TLS70; adaptierte CIELAB-Daten

	$L^*=L^*_a$	$a^*_a$	$b^*_a$	$C^*_{ab,a}$	$h^*_{ab,a}$
O <sub>m</sub>	76.43	26.27	10.57	28.32	22
Y <sub>m</sub>	93.93	-10.76	34.63	36.27	107
L <sub>m</sub>	89.32	-35.8	27.64	45.24	142
C <sub>m</sub>	90.93	-21.95	-7.07	23.07	198
V <sub>m</sub>	72.1	15.76	-35.63	38.97	294
M <sub>m</sub>	78.5	37.52	-25.23	45.22	326
N <sub>m</sub>	69.7	0.0	0.0	0.0	0
W <sub>m</sub>	95.41	0.0	0.0	0.0	0
R <sub>CIE</sub>	39.92	58.74	27.99	65.07	25
J <sub>CIE</sub>	81.26	-2.88	71.56	71.62	92
G <sub>CIE</sub>	52.23	-42.41	13.6	44.55	162
B <sub>CIE</sub>	30.57	1.41	-46.46	46.49	272

Dreiecks-Helligkeit  $t^*$

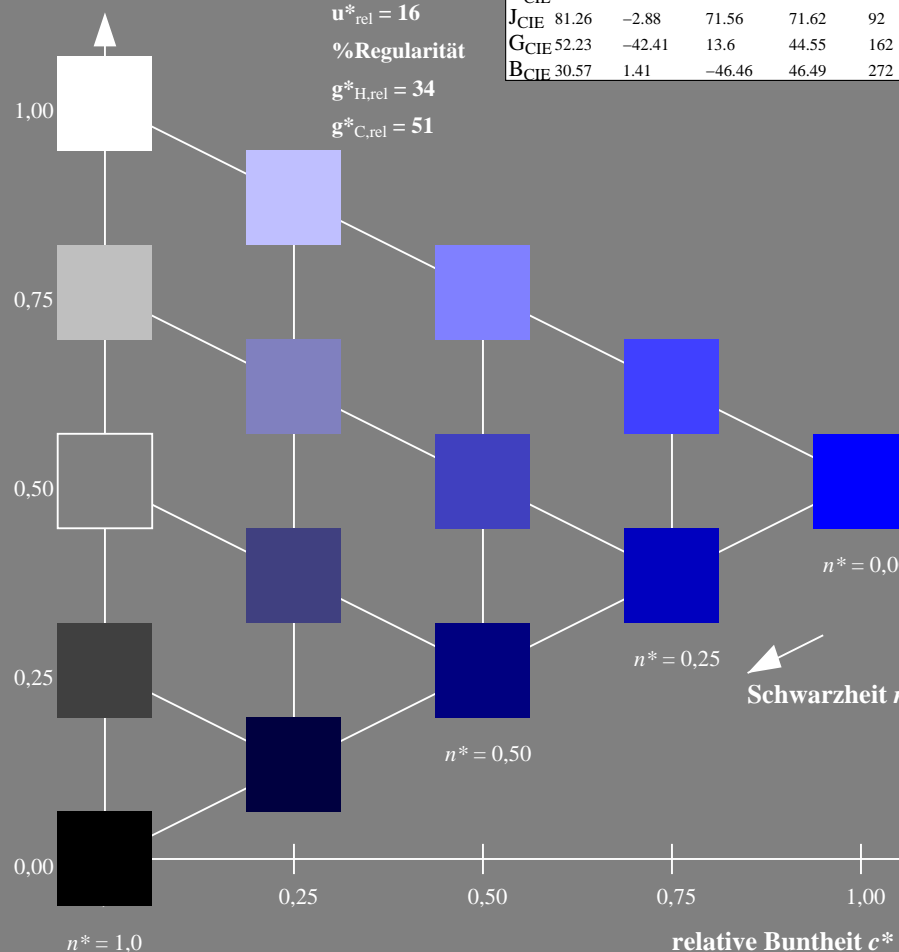
%Umfang

$u^*_{rel} = 16$

%Regularität

$g^*_{H,rel} = 34$

$g^*_{C,rel} = 51$

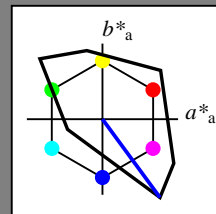


NG280-7, 5 stufige Reihen für konstanten CIELAB Buntton 294/360 = 0.816 (links)

Ausgabe: Farbmimetrisches Fernseh-Licht-System TLS00

für Buntton  $h^* = lab^*h = 306/360 = 0.851$   
 $LAB^*LCH$ ,  $LAB^*NCH$

D65: Buntton V  
LCH\*Ma: 30 129 306  
olv\*Ma: 0.0 0.0 1.0



TLS00; adaptierte CIELAB-Daten

	$L^*=L^*_a$	$a^*_a$	$b^*_a$	$C^*_{ab,a}$	$h^*_{ab,a}$
O <sub>m</sub>	50.5	76.92	64.55	100.42	40
Y <sub>m</sub>	92.66	-20.69	90.75	93.08	103
L <sub>m</sub>	83.63	-82.75	79.9	115.04	136
C <sub>m</sub>	86.88	-46.16	-13.55	48.12	196
V <sub>m</sub>	30.39	76.06	-103.59	128.52	306
M <sub>m</sub>	57.3	94.35	-58.41	110.97	328
N <sub>m</sub>	0.01	0.0	0.0	0.0	0
W <sub>m</sub>	95.41	0.0	0.0	0.0	0
R <sub>CIE</sub>	39.92	58.74	27.99	65.07	25
J <sub>CIE</sub>	81.26	-2.88	71.56	71.62	92
G <sub>CIE</sub>	52.23	-42.41	13.6	44.55	162
B <sub>CIE</sub>	30.57	1.41	-46.46	46.49	272

CIELAB-Helligkeit  $L^*$

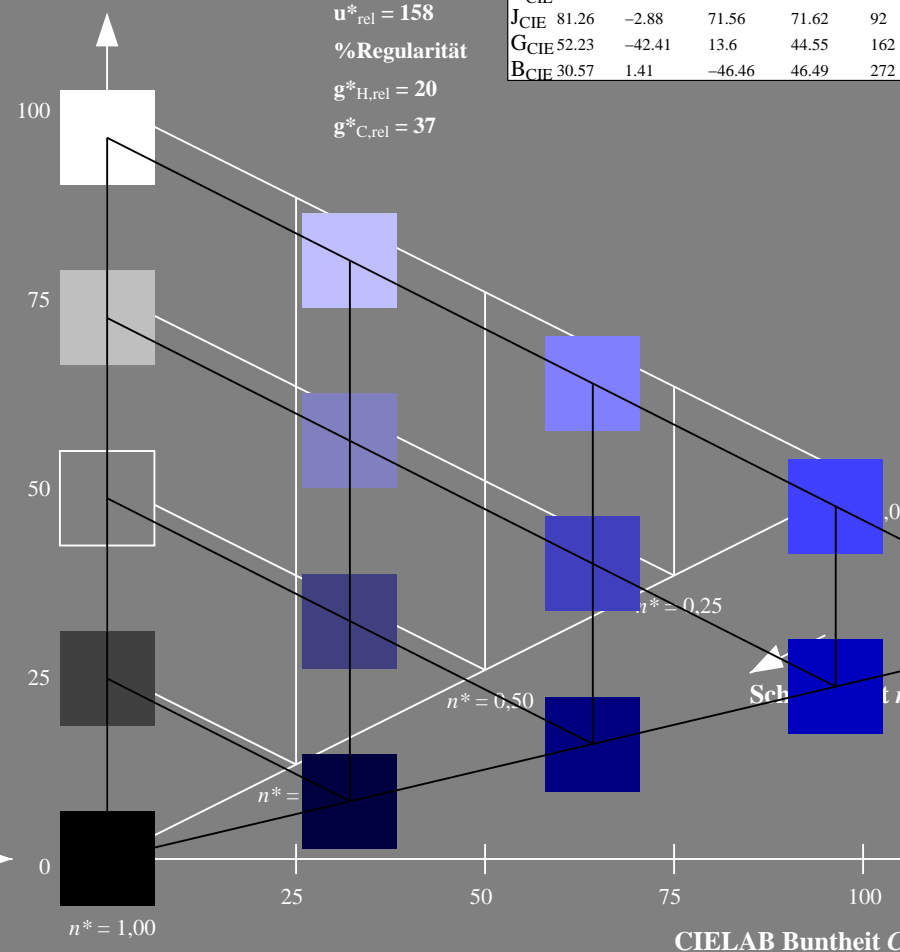
%Umfang

$u^*_{rel} = 158$

%Regularität

$g^*_{H,rel} = 20$

$g^*_{C,rel} = 37$



5 stufige Reihen für konstanten CIELAB Buntton 306/360 = 0.851 (rechts)

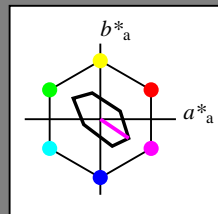
BAM-Prüfvorlage NG28; Farbmimetrik-Systeme TLS70 & TLS00 input: olv\* setrgbcolor

D65: Koordinatensysteme; 5stufige Farbreihen für 10 Bunttöne output: no change compared to input

Eingabe: Farbmimetrisches Fernseh-Licht-System TLS70

für Buntton  $h^* = lab \cdot h = 326/360 = 0.906$   
 $lab \cdot tch$  und  $lab \cdot nch$

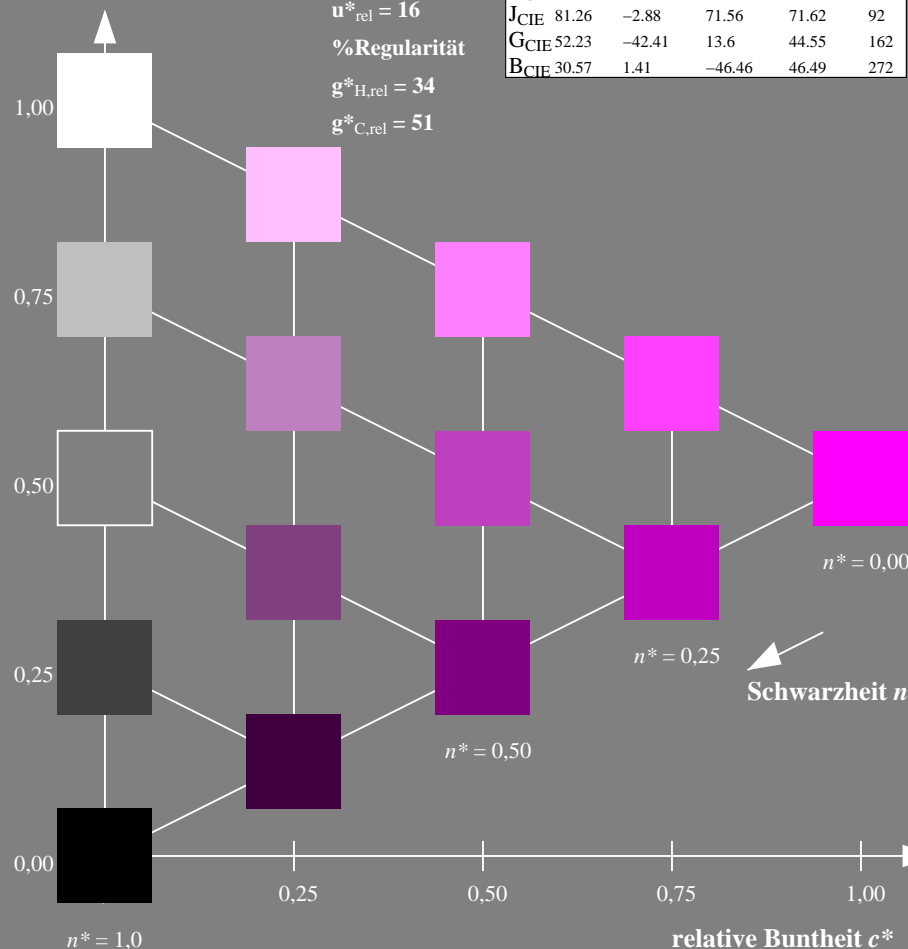
D65: Buntton M  
LCH\*Ma: 79 45 326  
olv\*Ma: 1.0 0.0 1.0



TLS70; adaptierte CIELAB-Daten					
	$L^*=L^*_a$	$a^*_a$	$b^*_a$	$C^*_{ab,a}$	$h^*_{ab,a}$
O <sub>m</sub>	76.43	26.27	10.57	28.32	22
Y <sub>m</sub>	93.93	-10.76	34.63	36.27	107
L <sub>m</sub>	89.32	-35.8	27.64	45.24	142
C <sub>m</sub>	90.93	-21.95	-7.07	23.07	198
V <sub>m</sub>	72.1	15.76	-35.63	38.97	294
M <sub>m</sub>	78.5	37.52	-25.23	45.22	326
N <sub>m</sub>	69.7	0.0	0.0	0.0	0
W <sub>m</sub>	95.41	0.0	0.0	0.0	0
R <sub>CIE</sub>	39.92	58.74	27.99	65.07	25
J <sub>CIE</sub>	81.26	-2.88	71.56	71.62	92
G <sub>CIE</sub>	52.23	-42.41	13.6	44.55	162
B <sub>CIE</sub>	30.57	1.41	-46.46	46.49	272

Dreiecks-Helligkeit  $t^*$

%Umfang  
 $u^*_{rel} = 16$   
%Regularität  
 $g^*_{H,rel} = 34$   
 $g^*_{C,rel} = 51$

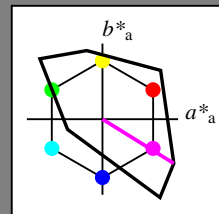


NG280-7, 5 stufige Reihen für konstanten CIELAB Buntton 326/360 = 0.906 (links)

Ausgabe: Farbmimetrisches Fernseh-Licht-System TLS00

für Buntton  $h^* = lab \cdot h = 328/360 = 0.912$   
 $LAB \cdot LCH$ ,  $LAB \cdot NCH$

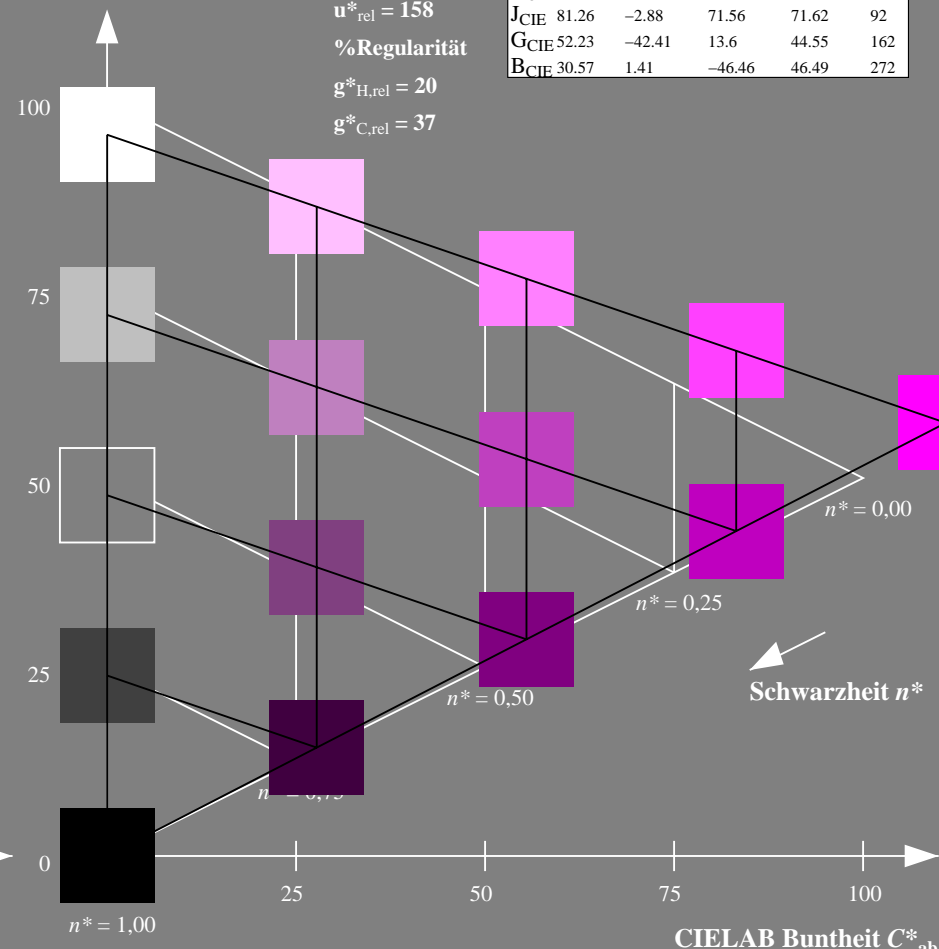
D65: Buntton M  
LCH\*Ma: 57 111 328  
olv\*Ma: 1.0 0.0 1.0



TLS00; adaptierte CIELAB-Daten					
	$L^*=L^*_a$	$a^*_a$	$b^*_a$	$C^*_{ab,a}$	$h^*_{ab,a}$
O <sub>m</sub>	50.5	76.92	64.55	100.42	40
Y <sub>m</sub>	92.66	-20.69	90.75	93.08	103
L <sub>m</sub>	83.63	-82.75	79.9	115.04	136
C <sub>m</sub>	86.88	-46.16	-13.55	48.12	196
V <sub>m</sub>	30.39	76.06	-103.59	128.52	306
M <sub>m</sub>	57.3	94.35	-58.41	110.97	328
N <sub>m</sub>	0.01	0.0	0.0	0.0	0
W <sub>m</sub>	95.41	0.0	0.0	0.0	0
R <sub>CIE</sub>	39.92	58.74	27.99	65.07	25
J <sub>CIE</sub>	81.26	-2.88	71.56	71.62	92
G <sub>CIE</sub>	52.23	-42.41	13.6	44.55	162
B <sub>CIE</sub>	30.57	1.41	-46.46	46.49	272

CIELAB-Helligkeit  $L^*$

%Umfang  
 $u^*_{rel} = 158$   
%Regularität  
 $g^*_{H,rel} = 20$   
 $g^*_{C,rel} = 37$



5 stufige Reihen für konstanten CIELAB Buntton 328/360 = 0.912 (rechts)

BAM-Prüfvorlage NG28; Farbmimetrik-Systeme TLS70 & TLS00 input: olv\* setrgbcolor

D65: Koordinatensysteme; 5stufige Farbreihen für 10 Bunttöne output: no change compared to input

Eingabe: Farbmétrisches Fernseh-Licht-System TLS70

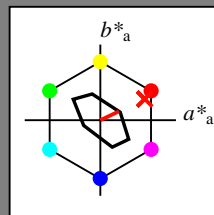
für Buntton  $h^* = lab \cdot h = 25/360 = 0.071$

$lab \cdot tch$  und  $lab \cdot nch$

D65: Buntton R

LCH\*Ma: 77 27 25

olv\*Ma: 1.0 0.05 0.0



TLS70; adaptierte CIELAB-Daten

	$L^*=L^*_a$	$a^*_a$	$b^*_a$	$C^*_{ab,a}$	$h^*_{ab,a}$
O <sub>m</sub>	76.43	26.27	10.57	28.32	22
Y <sub>m</sub>	93.93	-10.76	34.63	36.27	107
L <sub>m</sub>	89.32	-35.8	27.64	45.24	142
C <sub>m</sub>	90.93	-21.95	-7.07	23.07	198
V <sub>m</sub>	72.1	15.76	-35.63	38.97	294
M <sub>m</sub>	78.5	37.52	-25.23	45.22	326
N <sub>m</sub>	69.7	0.0	0.0	0.0	0
W <sub>m</sub>	95.41	0.0	0.0	0.0	0
R <sub>m</sub>	39.92	58.74	27.99	65.07	25
J <sub>m</sub>	81.26	-2.88	71.56	71.62	92
G <sub>m</sub>	52.23	-42.41	13.6	44.55	162
B <sub>m</sub>	30.57	1.41	-46.46	46.49	272

Dreiecks-Helligkeit  $t^*$

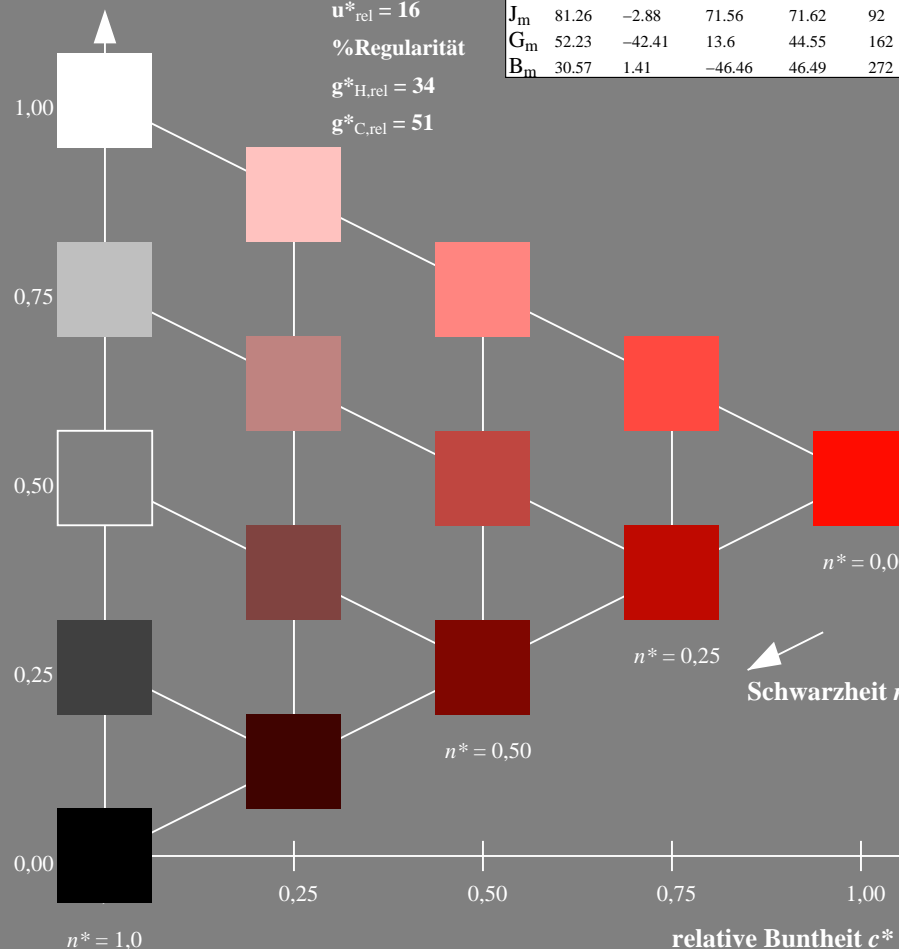
%Umfang

$u^*_{rel} = 16$

%Regularität

$g^*_{H,rel} = 34$

$g^*_{C,rel} = 51$



NG280-7, 5 stufige Reihen für konstanten CIELAB Buntton 25/360 = 0.071 (links)

Ausgabe: Farbmétrisches Fernseh-Licht-System TLS00

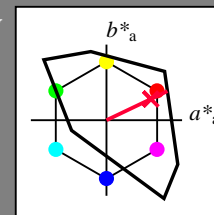
für Buntton  $h^* = lab \cdot h = 25/360 = 0.071$

$LAB \cdot LCH$ ,  $LAB \cdot NCH$

D65: Buntton R

LCH\*Ma: 52 89 25

olv\*Ma: 1.0 0.0 0.21



TLS00; adaptierte CIELAB-Daten

	$L^*=L^*_a$	$a^*_a$	$b^*_a$	$C^*_{ab,a}$	$h^*_{ab,a}$
O <sub>m</sub>	50.5	76.92	64.55	100.42	40
Y <sub>m</sub>	92.66	-20.69	90.75	93.08	103
L <sub>m</sub>	83.63	-82.75	79.9	115.04	136
C <sub>m</sub>	86.88	-46.16	-13.55	48.12	196
V <sub>m</sub>	30.39	76.06	-103.59	128.52	306
M <sub>m</sub>	57.3	94.35	-58.41	110.97	328
N <sub>m</sub>	0.01	0.0	0.0	0.0	0
W <sub>m</sub>	95.41	0.0	0.0	0.0	0
R <sub>m</sub>	39.92	58.74	27.99	65.07	25
J <sub>m</sub>	81.26	-2.88	71.56	71.62	92
G <sub>m</sub>	52.23	-42.41	13.6	44.55	162
B <sub>m</sub>	30.57	1.41	-46.46	46.49	272

CIELAB-Helligkeit  $L^*$

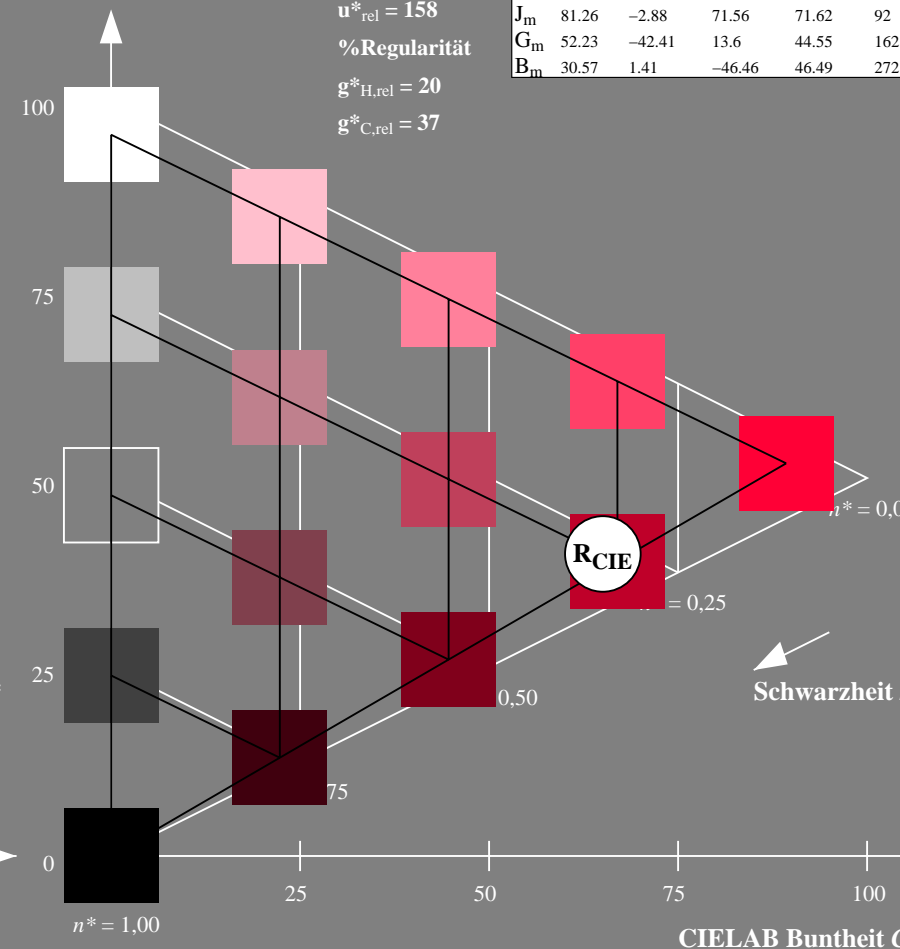
%Umfang

$u^*_{rel} = 158$

%Regularität

$g^*_{H,rel} = 20$

$g^*_{C,rel} = 37$



5 stufige Reihen für konstanten CIELAB Buntton 25/360 = 0.071 (rechts)

BAM-Prüfvorlage NG28; Farbmétrik-Systeme TLS70 & TLS00 input: olv\* setrgbcolor

D65: Koordinatensysteme; 5stufige Farbreihen für 10 Bunttöne output: no change compared to input



Eingabe: Farbmétrisches Fernseh-Licht-System TLS70

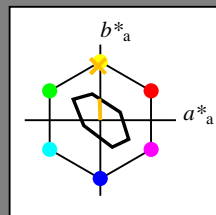
für Buntton  $h^* = lab \cdot h = 92/360 = 0.256$

$lab \cdot tch$  und  $lab \cdot nch$

D65: Buntton J

LCH\*Ma: 89 28 92

olv\*Ma: 1.0 0.74 0.0



TLS70; adaptierte CIELAB-Daten

	$L^*=L^*_a$	$a^*_a$	$b^*_a$	$C^*_{ab,a}$	$h^*_{ab,a}$
O <sub>m</sub>	76.43	26.27	10.57	28.32	22
Y <sub>m</sub>	93.93	-10.76	34.63	36.27	107
L <sub>m</sub>	89.32	-35.8	27.64	45.24	142
C <sub>m</sub>	90.93	-21.95	-7.07	23.07	198
V <sub>m</sub>	72.1	15.76	-35.63	38.97	294
M <sub>m</sub>	78.5	37.52	-25.23	45.22	326
N <sub>m</sub>	69.7	0.0	0.0	0.0	0
W <sub>m</sub>	95.41	0.0	0.0	0.0	0
R <sub>m</sub>	39.92	58.74	27.99	65.07	25
J <sub>m</sub>	81.26	-2.88	71.56	71.62	92
G <sub>m</sub>	52.23	-42.41	13.6	44.55	162
B <sub>m</sub>	30.57	1.41	-46.46	46.49	272

Dreiecks-Helligkeit  $t^*$

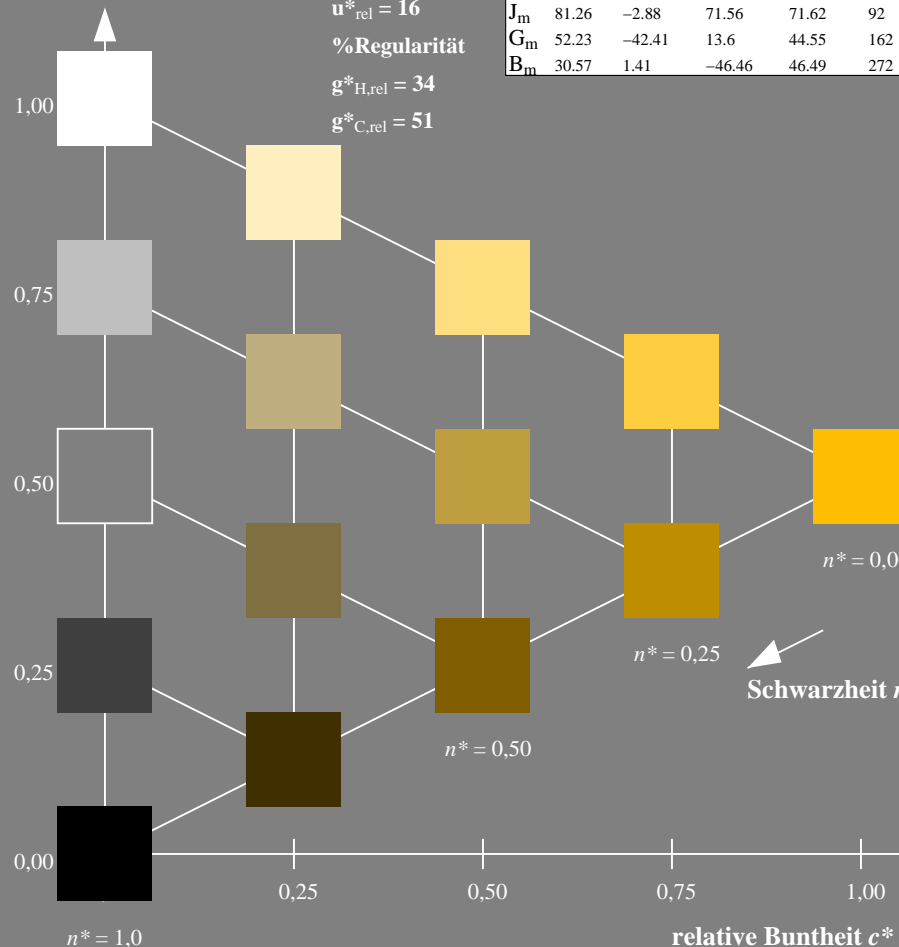
%Umfang

$u^*_{rel} = 16$

%Regularität

$g^*_{H,rel} = 34$

$g^*_{C,rel} = 51$



NG280-7, 5 stufige Reihen für konstanten CIELAB Buntton  $92/360 = 0.256$  (links)

Ausgabe: Farbmétrisches Fernseh-Licht-System TLS00

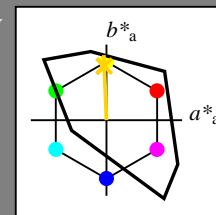
für Buntton  $h^* = lab \cdot h = 92/360 = 0.256$

$LAB \cdot LCH$ ,  $LAB \cdot NCH$

D65: Buntton J

LCH\*Ma: 85 86 92

olv\*Ma: 1.0 0.82 0.0



TLS00; adaptierte CIELAB-Daten

	$L^*=L^*_a$	$a^*_a$	$b^*_a$	$C^*_{ab,a}$	$h^*_{ab,a}$
O <sub>m</sub>	50.5	76.92	64.55	100.42	40
Y <sub>m</sub>	92.66	-20.69	90.75	93.08	103
L <sub>m</sub>	83.63	-82.75	79.9	115.04	136
C <sub>m</sub>	86.88	-46.16	-13.55	48.12	196
V <sub>m</sub>	30.39	76.06	-103.59	128.52	306
M <sub>m</sub>	57.3	94.35	-58.41	110.97	328
N <sub>m</sub>	0.01	0.0	0.0	0.0	0
W <sub>m</sub>	95.41	0.0	0.0	0.0	0
R <sub>m</sub>	39.92	58.74	27.99	65.07	25
J <sub>m</sub>	81.26	-2.88	71.56	71.62	92
G <sub>m</sub>	52.23	-42.41	13.6	44.55	162
B <sub>m</sub>	30.57	1.41	-46.46	46.49	272

CIELAB-Helligkeit  $L^*$

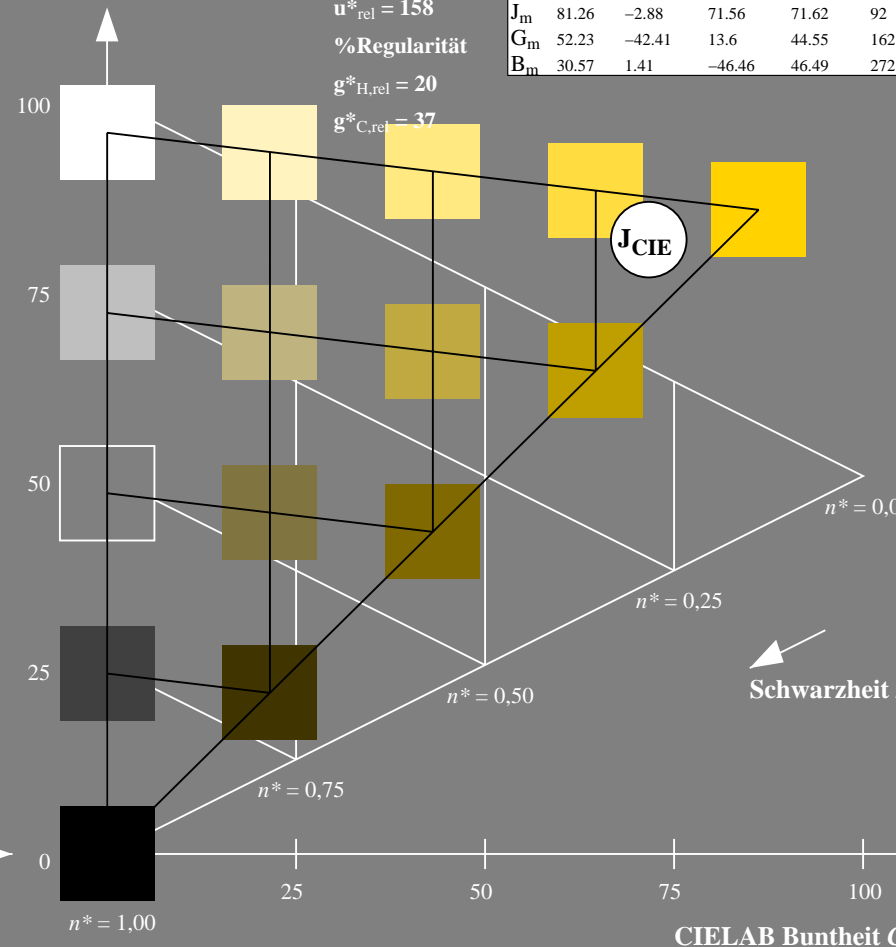
%Umfang

$u^*_{rel} = 158$

%Regularität

$g^*_{H,rel} = 20$

$g^*_{C,rel} = 37$



5 stufige Reihen für konstanten CIELAB Buntton  $92/360 = 0.256$  (rechts)

BAM-Prüfvorlage NG28; Farbmétrik-Systeme TLS70 & TLS00 input: olv\* setrgbcolor

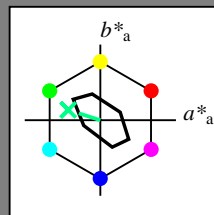
D65: Koordinatensysteme; 5stufige Farbreihen für 10 Bunttöne output: no change compared to input



Eingabe: Farbmétrisches Fernseh-Licht-System TLS70

für Buntton  $h^* = lab^*h = 162/360 = 0.451$   
 $lab^*tch$  und  $lab^*nch$

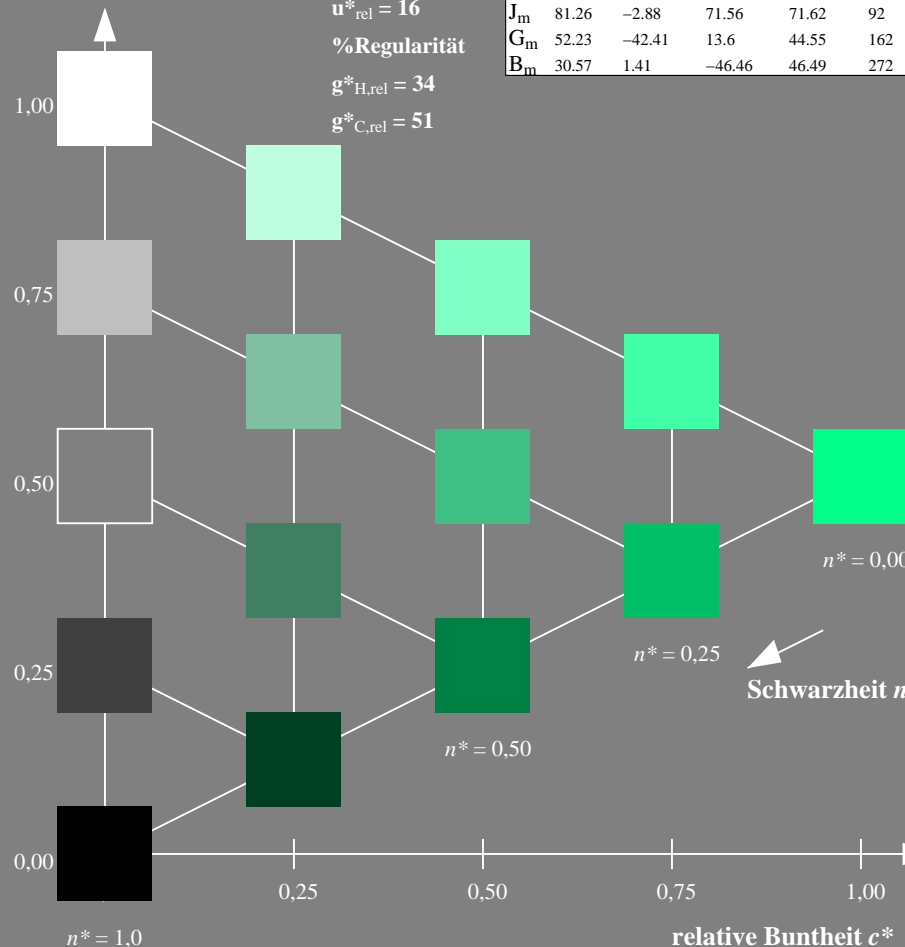
D65: Buntton G  
LCH\*Ma: 90 30 162  
olv\*Ma: 0.0 1.0 0.53



TLS70; adaptierte CIELAB-Daten

	$L^*=L^*_a$	$a^*_a$	$b^*_a$	$C^*_{ab,a}$	$h^*_{ab,a}$
O <sub>m</sub>	76.43	26.27	10.57	28.32	22
Y <sub>m</sub>	93.93	-10.76	34.63	36.27	107
L <sub>m</sub>	89.32	-35.8	27.64	45.24	142
C <sub>m</sub>	90.93	-21.95	-7.07	23.07	198
V <sub>m</sub>	72.1	15.76	-35.63	38.97	294
M <sub>m</sub>	78.5	37.52	-25.23	45.22	326
N <sub>m</sub>	69.7	0.0	0.0	0.0	0
W <sub>m</sub>	95.41	0.0	0.0	0.0	0
R <sub>m</sub>	39.92	58.74	27.99	65.07	25
J <sub>m</sub>	81.26	-2.88	71.56	71.62	92
G <sub>m</sub>	52.23	-42.41	13.6	44.55	162
B <sub>m</sub>	30.57	1.41	-46.46	46.49	272

Dreiecks-Helligkeit  $t^*$

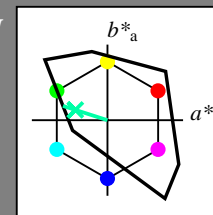


NG280-7, 5 stufige Reihen für konstanten CIELAB Buntton 162/360 = 0.451 (links)

Ausgabe: Farbmétrisches Fernseh-Licht-System TLS00

für Buntton  $h^* = lab^*h = 162/360 = 0.451$   
 $LAB^*LCH$ ,  $LAB^*NCH$

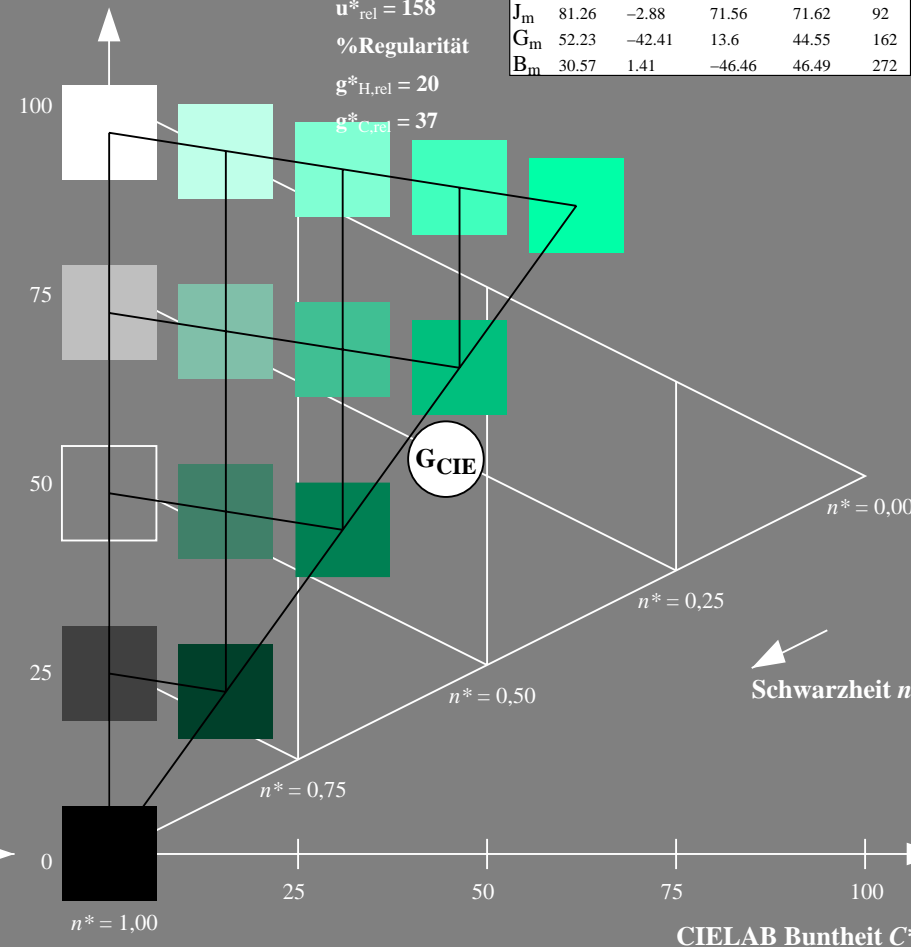
D65: Buntton G  
LCH\*Ma: 86 62 162  
olv\*Ma: 0.0 1.0 0.65



TLS00; adaptierte CIELAB-Daten

	$L^*=L^*_a$	$a^*_a$	$b^*_a$	$C^*_{ab,a}$	$h^*_{ab,a}$
O <sub>m</sub>	50.5	76.92	64.55	100.42	40
Y <sub>m</sub>	92.66	-20.69	90.75	93.08	103
L <sub>m</sub>	83.63	-82.75	79.9	115.04	136
C <sub>m</sub>	86.88	-46.16	-13.55	48.12	196
V <sub>m</sub>	30.39	76.06	-103.59	128.52	306
M <sub>m</sub>	57.3	94.35	-58.41	110.97	328
N <sub>m</sub>	0.01	0.0	0.0	0.0	0
W <sub>m</sub>	95.41	0.0	0.0	0.0	0
R <sub>m</sub>	39.92	58.74	27.99	65.07	25
J <sub>m</sub>	81.26	-2.88	71.56	71.62	92
G <sub>m</sub>	52.23	-42.41	13.6	44.55	162
B <sub>m</sub>	30.57	1.41	-46.46	46.49	272

CIELAB-Helligkeit  $L^*$



5 stufige Reihen für konstanten CIELAB Buntton 162/360 = 0.451 (rechts)

BAM-Prüfvorlage NG28; Farbmétrik-Systeme TLS70 & TLS00 input: olv\* setrgbcolor

D65: Koordinatensysteme; 5stufige Farbreihen für 10 Bunttöne output: no change compared to input

Eingabe: Farbmétrisches Fernseh-Licht-System TLS70

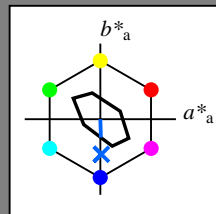
für Buntton  $h^* = lab^*h = 272/360 = 0.755$

$lab^*tch$  und  $lab^*nch$

D65: Buntton B

LCH\*Ma: 80 24 272

olv\*Ma: 0.0 0.4 1.0



TLS70; adaptierte CIELAB-Daten

	$L^*=L^*_a$	$a^*_a$	$b^*_a$	$C^*_{ab,a}$	$h^*_{ab,a}$
O <sub>m</sub>	76.43	26.27	10.57	28.32	22
Y <sub>m</sub>	93.93	-10.76	34.63	36.27	107
L <sub>m</sub>	89.32	-35.8	27.64	45.24	142
C <sub>m</sub>	90.93	-21.95	-7.07	23.07	198
V <sub>m</sub>	72.1	15.76	-35.63	38.97	294
M <sub>m</sub>	78.5	37.52	-25.23	45.22	326
N <sub>m</sub>	69.7	0.0	0.0	0.0	0
W <sub>m</sub>	95.41	0.0	0.0	0.0	0
R <sub>m</sub>	39.92	58.74	27.99	65.07	25
J <sub>m</sub>	81.26	-2.88	71.56	71.62	92
G <sub>m</sub>	52.23	-42.41	13.6	44.55	162
B <sub>m</sub>	30.57	1.41	-46.46	46.49	272

Dreiecks-Helligkeit  $t^*$

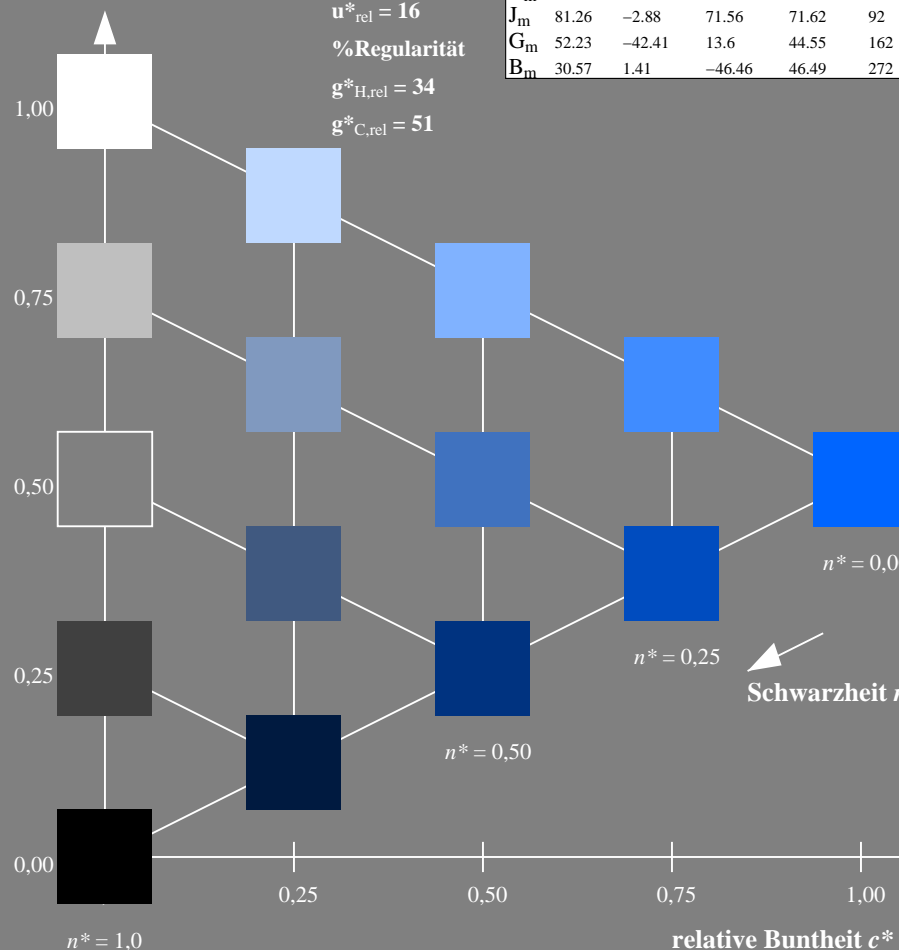
%Umfang

$u^*_{rel} = 16$

%Regularität

$g^*_{H,rel} = 34$

$g^*_{C,rel} = 51$



NG280-7, 5 stufige Reihen für konstanten CIELAB Buntton  $272/360 = 0.755$  (links)

Ausgabe: Farbmétrisches Fernseh-Licht-System TLS00

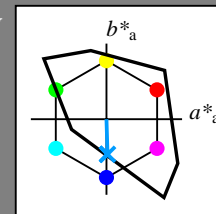
für Buntton  $h^* = lab^*h = 272/360 = 0.755$

$LAB^*LCH$ ,  $LAB^*NCH$

D65: Buntton B

LCH\*Ma: 65 49 272

olv\*Ma: 0.0 0.61 1.0



TLS00; adaptierte CIELAB-Daten

	$L^*=L^*_a$	$a^*_a$	$b^*_a$	$C^*_{ab,a}$	$h^*_{ab,a}$
O <sub>m</sub>	50.5	76.92	64.55	100.42	40
Y <sub>m</sub>	92.66	-20.69	90.75	93.08	103
L <sub>m</sub>	83.63	-82.75	79.9	115.04	136
C <sub>m</sub>	86.88	-46.16	-13.55	48.12	196
V <sub>m</sub>	30.39	76.06	-103.59	128.52	306
M <sub>m</sub>	57.3	94.35	-58.41	110.97	328
N <sub>m</sub>	0.01	0.0	0.0	0.0	0
W <sub>m</sub>	95.41	0.0	0.0	0.0	0
R <sub>m</sub>	39.92	58.74	27.99	65.07	25
J <sub>m</sub>	81.26	-2.88	71.56	71.62	92
G <sub>m</sub>	52.23	-42.41	13.6	44.55	162
B <sub>m</sub>	30.57	1.41	-46.46	46.49	272

CIELAB-Helligkeit  $L^*$

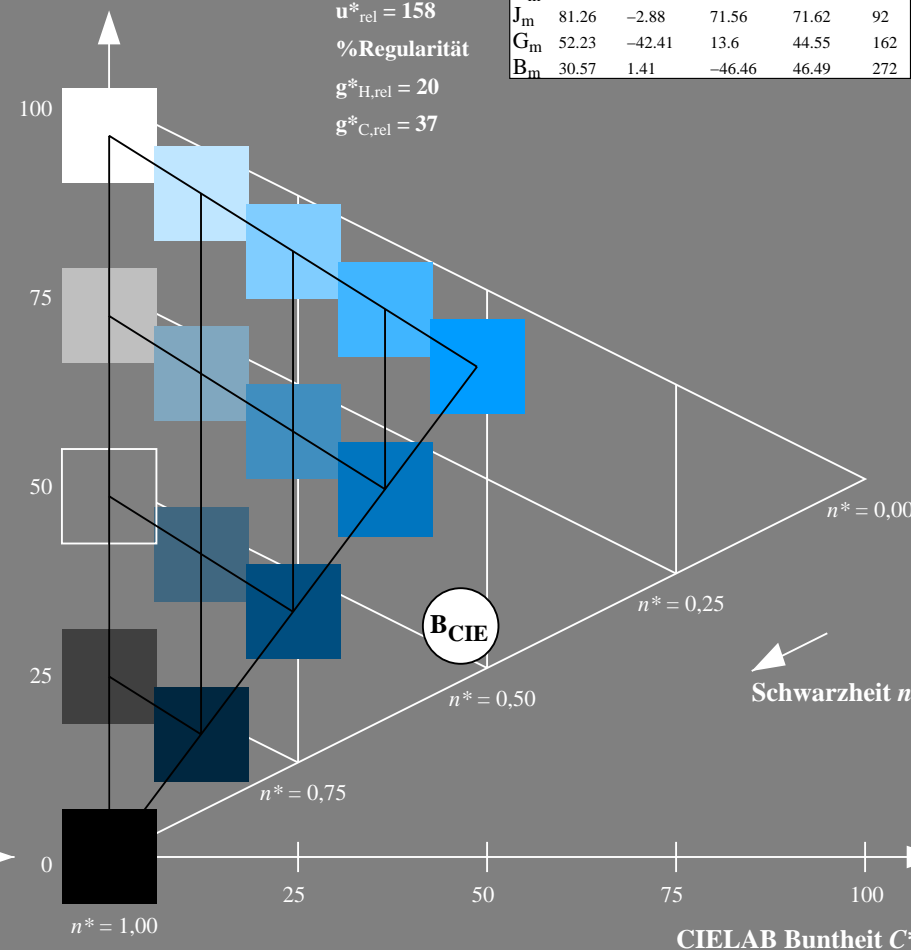
%Umfang

$u^*_{rel} = 158$

%Regularität

$g^*_{H,rel} = 20$

$g^*_{C,rel} = 37$



5 stufige Reihen für konstanten CIELAB Buntton  $272/360 = 0.755$  (rechts)

BAM-Prüfvorlage NG28; Farbmétrik-Systeme TLS70 & TLS00 input: olv\* setrgbcolor

D65: Koordinatensysteme; 5stufige Farbreihen für 10 Bunttöne output: no change compared to input